

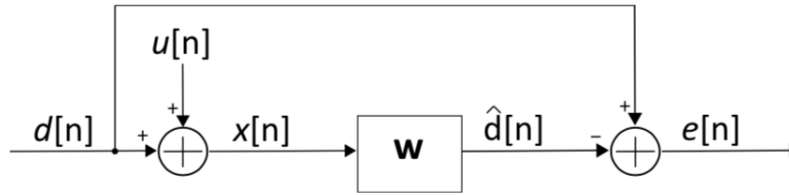
Επεξεργασία Στοχαστικών Σημάτων

2η Άσκηση

Μαστοράκη Αικατερίνα
AM:1115201400100

• Ερώτημα 1

Στο πρώτο ερώτημα ζητείται η υλοποίηση ενός *FIR* φίλτρου *Wiener* τριών διαφορετικών τάξεων ($p = 10, 40, 80$) προκειμένου να πραγματοποιείται φιλτράρισμα θορύβου στην είσοδο του και να λαμβάνεται ως έξοδος μία προσέγγιση του επιθυμητού αρχικού σήματος, πριν την επίδραση του θορύβου σε αυτό. Πιο συγκεκριμένα απαιτείται η ανάκτηση του σήματος $d[n]$ από το σήμα εισόδου $x[n] = d[n] + u[n]$, όπου το σήμα $u[n]$ αναπαριστά λευκό θόρυβο με μηδενική μέση τιμή και μοναδιαία διασπορά. Στην παρακάτω εικόνα παρουσιάζεται η σχηματική απεικόνιση του ζητούμενου φίλτρου.



Οι συντελεστές του ζητούμενου φίλτρου θα είναι: $\mathbf{w} = [w[0], w[1], \dots, w[p-1]]^T$, όπου $p=10, 40, 80$ και είναι η τάξη του φίλτρου. Γνωρίζουμε από την θεωρία ότι $\mathbf{w}_{opt} = \mathbf{R}_x^{-1} \mathbf{r}_{d,x}$, όπου \mathbf{R}_x^{-1} είναι ο αντίστροφος του πίνακα αυτοσυσχέτισης του σήματος εισόδου με διαστάσεις $p \times p$ και $\mathbf{r}_{d,x}$ είναι η ετεροσυσχέτιση του επιθυμητού σήματος και του σήματος εισόδου με διαστάσεις $p \times 1$. Για την ετεροσυσχέτιση των σημάτων $d[n], x[n]$ ισχύει:

$$\mathbf{r}_{d,x}[k] = E_{d,u}[d[n](d^*[n-k] + u^*[n-k])] = r_d(k) + r_{d,u}(k) \quad (1)$$

Όμως γνωρίζουμε ότι οι δύο τυχαίες διαδικασίες $d[n], u[n]$ είναι ασυσχέτιστες, άρα:

$$c_{d,u}(k) = 0$$

Επίσης γνωρίζουμε ότι:

$$\begin{aligned} c_{d,u}(k) &= r_{d,u}(k) - \mu_d(k)\mu_u^*(k) \leftrightarrow \\ r_{d,u}(k) &= \mu_d(k)\mu_u^*(k) \end{aligned}$$

Στην περίπτωση μας όμως το σήμα θορύβου $u[n]$ έχει μηδενική μέση τιμή, άρα συμπεραίνουμε ότι:

$$r_{d,u}(k) = 0$$

Άρα από την σχέση (1) καταλήγουμε στο ότι :

$$\mathbf{r}_{d,x}[k] = r_d(k)$$

Τελικά καταλήγουμε στο ότι η βέλτιστη λύση δίνεται απο την σχέση:

$$\mathbf{w}_{opt} = \mathbf{R}_x^{-1} \mathbf{r}_d$$

Αφού βρεθούν οι συντελεστές του φίλτρου τότε η εκτίμηση του σήματος $d[n]$ δίνεται απο την συνέλιξη του σήματος εισόδου με το διάνυσμα των συντελεστών απο τον παρακάτω τύπο:

$$\hat{d}[n] = \sum_{k=0}^{p-1} w[k]x[n-k]$$

Ξεκινώντας την υλοποίηση του *FIR* φίλτρου *Wiener* σε περιβάλλον *Matlab*, φορτώνονται μέσω της εντολής *load* τα διαθέσιμα δείγματα που σχηματίζουν τα σήματα $d[n]$ και $x[n]$. Στην συνέχεια υπολογίζονται οι αυτοσυσχετίσεις των παραπάνω σημάτων μέσω της εντολής *xcorr* η οποία παράγει ένα διάνυσμα που περιλαμβάνει τις αυτοσυσχετίσεις για τα χρονικά *lags* $1-p$ έως $p-1$. Όμως για τον υπολογισμό του πίνακα αυτοσυσχετίσης του σήματος εισόδου, καθώς και για την αυτοσυσχέτιση του σήματος $d[n]$ μας ενδιαφέρουν οι τιμές για τα χρονικά *lags* 0 έως $p-1$, τις οποίες και κρατάμε. Ο πίνακας \mathbf{R}_x είναι ένας συμμετρικός *toeplitz* πίνακας, φτιάχνεται μέσω της ομόνυμης εντολής, που στην συνέχεια αντιστρέφεται για να πάρουμε τον πίνακα \mathbf{R}_x^{-1} και να υπολογιστούν οι συντελεστές του φίλτρου στον πίνακα w .

Για να υπολογίσουμε την εκτίμηση $\hat{d}[n]$ θα υπολογίσουμε, όπως προαναφέρθηκε την συνέλιξη του σήματος εισόδου $x[n]$ με τον πίνακα w , που περιέχει τους συντελεστές. Σχετικά με την συνέλιξη θα μπορούσε να χρησιμοποιηθεί η συνάρτηση *conv*, η οποία παρέχεται έτοιμη απο την *Matlab*, όμως προτίμησα να την υλοποιήσω με τον δικό μου τρόπο καθώς παρατήρησα ότι έτσι λαμβάνω καλύτερη εκτίμηση για τις αρχικές τιμές του σήματος $\hat{d}[n]$. Πιο συγκεκριμένα, ελέγχω τον δείκτη που διατρέχει τον πίνακα που περιέχει τα δείγματα του σήματος εισόδου, και αν αυτός λαμβάνει αρνητικές τιμές, τότε χρησιμοποιείται το συμμετρικό στοιχείο με τον δείκτη να παίρνει την αντίθετη τιμή, ενώ αν είναι ίσος με μηδέν τότε παίρνει την τιμή 1 και χρησιμοποιείται το πρώτο διαθέσιμο δείγμα. Ο κώδικας που υλοποιεί την παραπάνω λογική χρησιμοποιείται τρεις φορές, ώστε να υλοποιηθεί το απαιτούμενο φίλτρο για τις τάξεις $p1 = 10, p2 = 40, p3 = 80$. Στις παρακάτω γραφικές παραστάσεις απεικονίζεται η έξοδος του φίλτρου, δηλαδή το σήμα $\hat{d}[n]$, σε σύγκριση με το αρχικό σήμα $d[n]$ για κάθε μία απο τις ζητούμενες τάξεις.

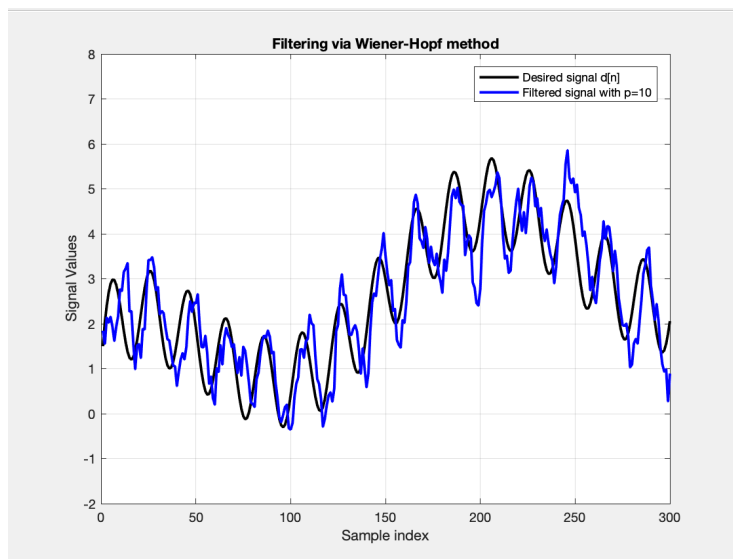


Figure 1: Φιλτάρισμα θορύβου για $p = 10$

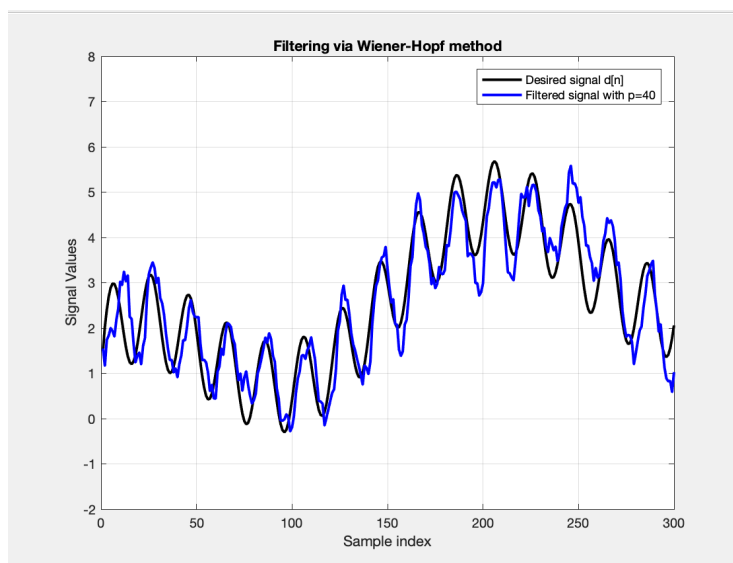


Figure 2: Φιλτάρισμα θορύβου για $p = 40$

Παρατηρούμε ότι παρόλο που η εκτίμηση δεν ταυτίζεται με το αρχικό σήμα, έχει βελτιωθεί αρκετά περνώντας από την τάξη 10 στην τάξη 40 του φίλτρου.

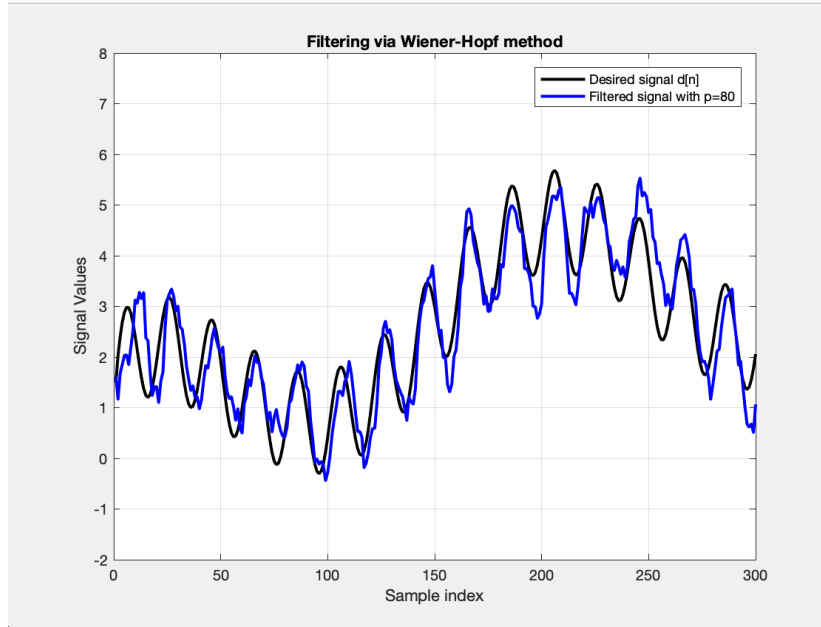


Figure 3: Φιλτάρισμα θορύβου για $p = 80$

Για την μετάβαση απο την τάξη 40 στην τάξη 80 διαπιστώνουμε οτι η εκτίμηση έχει βελτιωθεί σε μικρό βαθμό, ενώ ακόμα δεν ταυτίζεται με το επιθυμητό σήμα. Αυτό ίσως να συμβαίνει λόγω της γρήγορης μεταβολής του σήματος $d[n]$.

• Ερώτημα 2

Στο δεύτερο ερώτημα δίνεται το σήμα $y[n]$, το οποίο έχει προκύψει κατόπιν φιλτραρίσματος του σήματος θορύβου $u[n]$ απο ένα αγνώστων συντελεστών *FIR* φίλτρο και ζητείται η υλοποίηση του προσαρμοστικού αλγορίθμου *LMS* για την ταυτοποίηση του εν λόγω φίλτρου για τρεις διαφορετικές τάξεις και δύο διαφορετικές τιμές του μεγέθους βήματος.

Η λογική πάνω στην οποία υλοποιούνται οι προσαρμοστικοί αλγόριθμοι είναι ο υπολογισμός για κάθε διαθέσιμο δείγμα n του σήματος εισόδου $x[n]$ (που στην περίπτωση μας είναι το σήμα λευκού θορύβου $u[n]$) ενός νέου διανύσματος w_{n+1} που περιλαμβάνει p τιμές, και αποτελεί την εκτίμηση των συντελεστών του φίλτρου σε εκείνο το σημείο. Οι τιμές αυτές υπολογίζονται με χρήση των τιμών των συντελεστών που έχουν βρεθεί για το παρελθοντικό δείγμα $n - 1$ και ενός διανύσματος Δw_n που υπολογίζεται απο τις παρούσες τιμές. Η αναδρομική σχέση μέσω της οποίας υλοποιείται η παραπάνω διαδικασία είναι η εξής:

$$\mathbf{w}_{n+1} = \mathbf{w}_n + \mu \left(\frac{1}{N} \sum_{l=0}^{N-1} e[n-l] \mathbf{x}^*[n-l] \right) \quad (2)$$

όπου $\mathbf{x}[n] = [x[n], x[n-1], \dots, x[n-p+1]]^T$

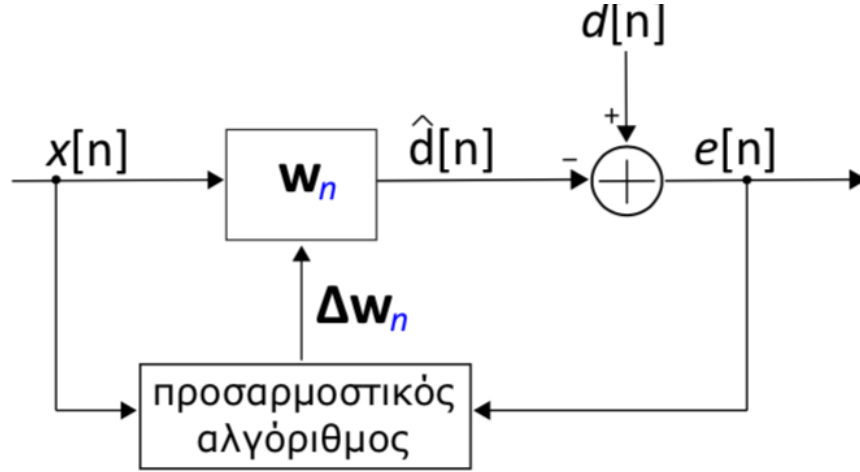


Figure 4: Υλοποίηση φίλτρου με χρήση προσαρμοστικού αλγορίθμου

Η αναδρομική σχέση στην οποία βασίζεται ο αλγόριθμος *LMS* προκύπτει αν στην σχέση (2) τεθεί $N=1$:

$$\mathbf{w}_{n+1} = \mathbf{w}_n + \mu e[n] \mathbf{x}^*[n] \quad (3)$$

Τα βήματα του αλγορίθμου *LMS* διαμορφώνονται ως εξής:

- Αρχικοποίηση:

$$\mathbf{w}_0 = [w_0[0], w_0[1], \dots, w_0[p-1]]^T \text{ και } \mu > 0$$

for $n=0,1,\dots$

- Υπολογισμός της εξόδου του φίλτρου:

$$\hat{d} = \mathbf{w}_n^T \mathbf{x}[n]$$

- Υπολογισμός του σφάλματος:

$$e[n] = d[n] - \hat{d}[n]$$

- Ανανέωση του διανύσματος των συντελεστών:

$$\mathbf{w}_{n+1} = \mathbf{w}_n + \mu e[n] \mathbf{x}^*[n]$$

endfor

Η επιλογή του μεγέθους βήματος έχει σημασία καθώς όταν επιλέγεται μεγαλύτερο μ έχουμε μία πιο γρήγορη προσέγγιση της βέλτιστης λύσης, ενώ αν επιλέξουμε μικρότερο μ μπορεί η βέλτιστη λύση να μην προσεγγίζεται τόσο γρήγορα αλλά παρατηρείται μικρότερη απόκλιση κατά την σύγκλιση σε αυτή.

Ξεκινώντας την υλοποίηση του προσαρμοστικού αλγορίθμου *LMS* σε περιβάλλον *Matlab*, αρχικά φορτώνονται τα διαθέσιμα δείγματα των σημάτων $u[n]$ και $y[n]$ και στην συνέχεια ξεκινά η επανάληψη των παραπάνω βημάτων για κάθε ένα από τα 300 αυτά δείγματα. Τα δύο διαφορετικά μεγέθη βήματος έχουν επιλεγεί να είναι $\mu_1=0.012$ και $\mu_2=0.05$ (βάσει των διαφανειών), για κάθε ένα για τα οποία προκύπτει ένας διαφορετικός πίνακας συντελεστών. Για τον υπολογισμό του διανύσματος $\mathbf{x}[n]$, το οποίο αποτελείται από την τρέχουσα και τις $p-1$ παρελθοντικές τιμές του σήματος εισόδου $u[n]$, και υπολογίζεται εκ νέου σε κάθε επανάληψη, χρησιμοποιείται μία δομή *while* στην οποία ελέγχεται πόσες τιμές από τις απαιτούμενες είναι διαθέσιμες, δηλαδή ελέγχεται αν ο δείκτης είναι μεγαλύτερος του 1. Όσα δείγματα είναι διαθέσιμα συμπληρώνονται, ενώ εκείνα που δεν είναι ακόμα αντικαθίστανται από μηδέν. Ο κώδικας που υλοποιεί την παραπάνω λογική επαναλαμβάνεται τρεις φορές, μία για κάθε ζητούμενη τάξη. Στις παρακάτω γραφικές παραστάσεις παρουσιάζονται οι συγκλίσεις των συντελεστών για τα δύο διαφορετικά μεγέθη βήματος και για κάθε ζητούμενη τάξη του φίλτρου ($p_3 = 2, p_2 = 3, p_1 = 4$).

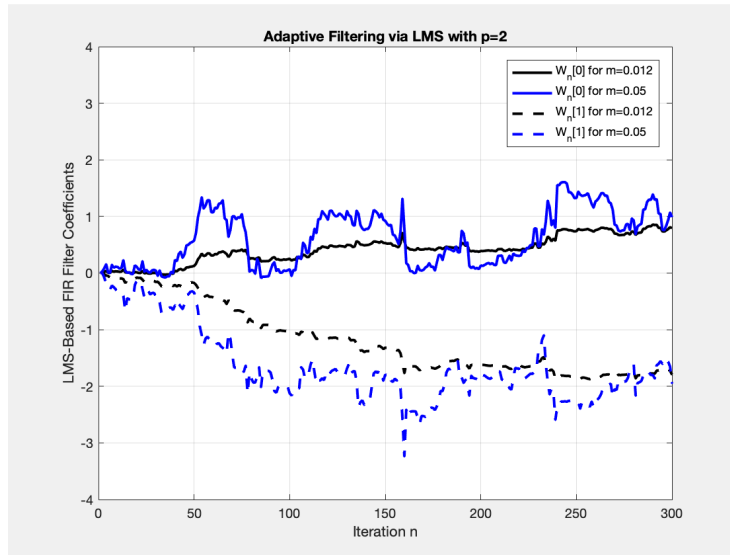


Figure 5: Σύγκλιση συντελεστών για $p = 2$

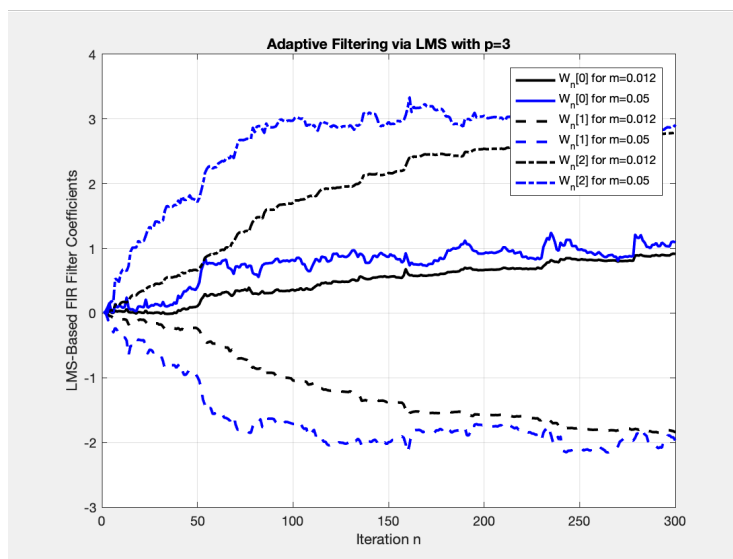


Figure 6: Σύγκλιση συντελεστών για $p = 3$

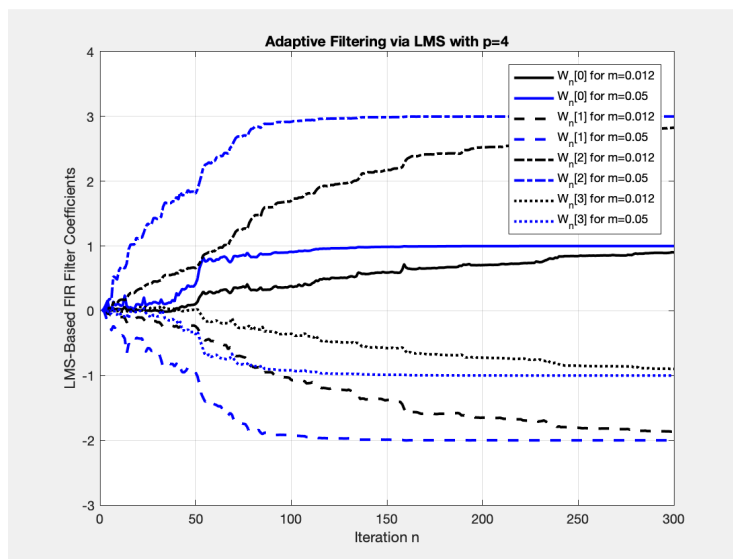


Figure 7: Σύγκλιση συντελεστών για $p = 4$

Από τις παραπάνω γραφικές παρατηρούμε αυτό που αναφέρθηκε και προηγουμένως. Για $\mu_2=0.05 > \mu_1=0.012$ βλέπουμε ότι η βέλτιστη λύση μπορεί να προσεγγίζεται πιο γρήγορα, αλλά όχι με τόσο καλή ακρίβεια, κάτι που φαίνεται

ξεκάθαρα στο διάγραμμα 5. Απο την άλλη στο ίδιο διάγραμμα φαίνεται ότι για $\mu_1=0.012$ η βέλτιστη λύση προσεγγίζεται πιο αργά αλλά πολύ πιο σταθερά και με λιγότερες διακυμάνσεις, γεγονός που παρατηρείται και απο τα διαγράμματα 6 και 7. Παρόλο που βλέπουμε την τάση σύγκλισης δεν βλέπουμε τους συντελεστές να συγκλίνουν απόλυτα, γεγονός που οφείλεται στα περιορισμένα διαθέσιμα δείγματα, αφού ο αλγόριθμος περνά μία φάση "εκπαίδευσης" και η βέλτιστη λύση προσεγγίζεται όλο και καλύτερα με την πάροδο των δειγμάτων.

.....